

Abbiamo visto che gli elementi di matrice perturbativi crescono (fino a divergere) nelle regioni collineari e di gluoni soffici.

Di conseguenza le emissioni partoniche dovute all'irraggiamento da parte dei partoni inziali è più probabile in tali regioni; ci aspettiamo di osservare particelle energetiche concentrate in fasci collimati, più particelle soffici sparse un po' ovunque.

Questi fasci di particelle collimati attorno ad una direzione comune sono chiamati JET (getti) e sono la più evidente manifestazione delle dinamiche della QCD a corte distanze.

Sperimentalmente i JET si osservano come gruppi di particelle emesse in direzioni contenute in un "piccolo" angolo solido, e con grande impulso trasferito $|\vec{P}_{T,jet}| \gg \Lambda_{QCD}$.

Per confrontare quantitativamente le misure di eventi con jet con i calcoli teorici, bisogna specificare in modo preciso cosa si intende per jet.

Bisogna cioè definire una procedura per decidere quali particelle siano da raggruppare all'interno dei jet e quali no,
 → tenendo in conto le particelle soffici ←
 (questo è un aspetto cruciale!)

Una tale procedura si chiama ALGORITMO DI JET:
 è una ben precisa corrispondenza tra

$$\{\text{stati finali}\} \longrightarrow \{\text{gruppi di jet}\}$$

Affinché un algoritmo di jet sia utilizzabile, deve soddisfare alcuni requisiti:

- ⊙ IR finito
- ⊙ semplice per l'analisi sperimentale
 ($\sim 10^6 \div 10^9$ eventi con $\sim 10^2 \div 10^3$ particelle)
- ⊙ semplice per i calcoli teorici
- poco sensibile agli effetti non perturbativi

Uno dei primi tentativi di definire una sezione d'urto per jet in teoria delle perturbazioni, che è semplice e che racchiude le idee fondamentali: un evento è classificato a 2jet se quasi tutta l'energia dello stato finale è contenuta in una coppia di coni (evidentemente opposti per conservazione dell'impulso).

"Quasi tutta" nel senso di tutta, eccetto al più una frazione $\frac{\epsilon}{2} \ll 1$.

I coni sono specificati dall'angolo di apertura 2δ

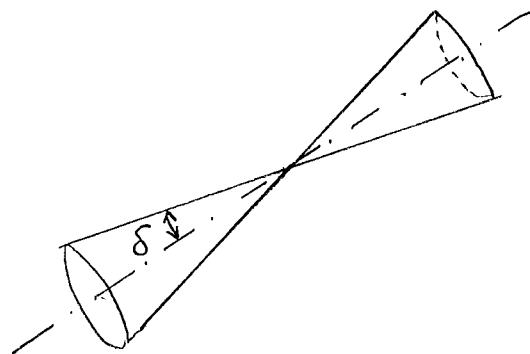
La sezione d'urto per osservabili a 2jet si ottiene integrando gli elementi di matrice $|^2$

per stati finali di quark e gluoni nelle corrispondente regione di spazio delle fasi.

All'ordine più basso ci sono solo 2 partoni che banalmente possono essere inseriti ciascuno nel proprio cono:

$$F_2^{(2j)}(P_1, P_2) = 1$$

$$\Rightarrow \sigma_{LO}^{(2jet)} = \sigma_{LO}^{(tot)}$$

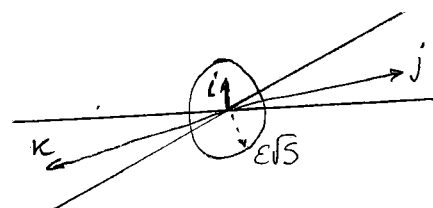
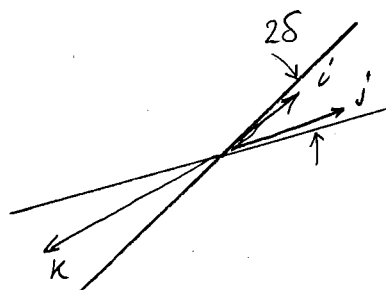


A NLO la condizione di 2 jet è non banale, 4
 ed avendo 3 particelle nello stato finale
 possiamo formare 2 jet se e solo se:

- c'è una coppia di particelle la cui separazione angolare $\theta_{ij} < 2\delta$

oppure (vel)

- c'è una particella con energia $E_i < \epsilon \sqrt{s}$



Nel caso in cui nessuna delle due condizioni si verificano, i tre partoni non sono raccolti in 2 jet e quindi danno luogo ad un evento a 3 jet:

$$F_3^{(3jet)}(p_1, p_2, p_3) = \Theta(E_1 - \epsilon \sqrt{s}) \Theta(E_2 - \epsilon \sqrt{s}) \Theta(E_3 - \epsilon \sqrt{s}) \times \\ \times \Theta(\theta_{12} - 2\delta) \Theta(\theta_{23} - 2\delta) \Theta(\theta_{31} - 2\delta)$$

$$\Rightarrow F_3^{(2jet)}(p_1, p_2, p_3) = 1 - F_3^{(3jet)}$$

Se una particella (p.es. $i=3$) diventa soffice

$$\lim_{E_3 \rightarrow 0} \Theta(E_3 - \epsilon \sqrt{s}) = 0 \quad \Rightarrow \quad \lim F_3^{(3j)} \rightarrow 0 \\ \lim F_3^{(2j)} \rightarrow 1 = F_2^{(2j)}$$

Se due particelle (p.es. $i=1, j=3$) diventano collineari

$$\lim_{\theta_{13} \rightarrow 0} \Theta(\theta_{13} - 2\delta) = 0 \quad \Rightarrow \quad \lim F_3^{(3j)} \rightarrow 0 \\ \lim F_3^{(2j)} \rightarrow 1 = F_2^{(2j)}$$

Vediamo quindi che a NLO questa procedura di 5
definire eventi a 2 jet è IR finita.

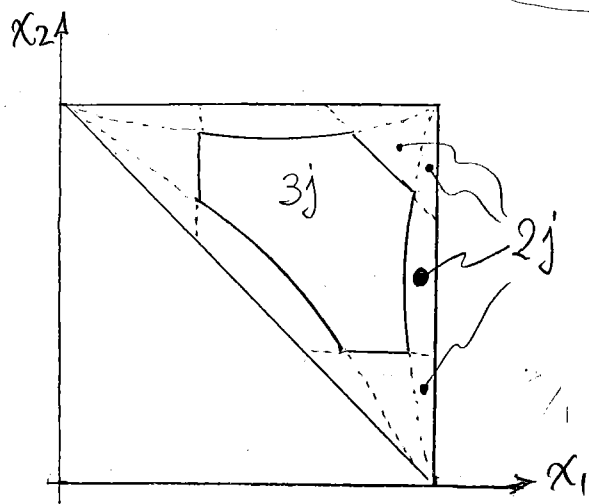
OSSERVAZIONE

Per la finitezza IR di $F_3^{(2j)}$ è essenziale
sia ammettere partecelle ad angolo $\theta_{ij} > 0$ ($\delta > 0$)
sia includere partecelle soffici $E_i > 0$ ($\varepsilon > 0$)

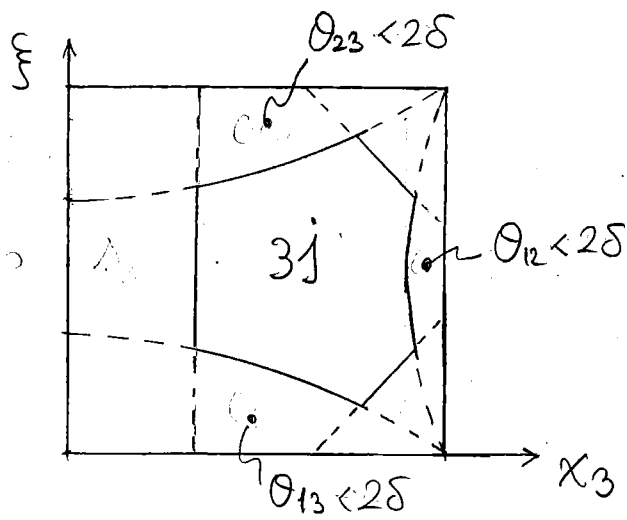
In caso contrario ($\delta = 0$ o $\varepsilon = 0$) non si
otterrebbe un osservabile IR finito

Calcoliamo pertanto lo $\sigma_{NLO}^{(2j)}$.

$$d\sigma_R = \sigma_{LO} \underbrace{\frac{\alpha_s C_F}{2\pi} dx_1 dx_2 dx_3 \delta(x_1 + x_2 + x_3 - 2) \frac{x_1^2 + x_2^2}{(1-x_1)(1-x_2)}}_{dK_R}$$



È più conveniente usare
 x_3 e $\xi := \frac{x_1 + x_3 - 1}{x_3}$
come variabili indipendenti



$$x_1 < \varepsilon \Leftrightarrow 1 - \xi < \frac{1 - \varepsilon}{x_3}$$

$$x_2 < \varepsilon \Leftrightarrow \xi > \frac{1 - \varepsilon}{x_3}$$

$$x_3 < \varepsilon$$

$$\theta_{23} < 2\delta \Leftrightarrow \xi > \frac{1 - \sigma}{1 - \sigma x_3} =: \xi_2$$

$$\theta_{13} < 2\delta \Leftrightarrow \xi < \frac{\sigma(1 - x_3)}{1 - \sigma x_3} =: \xi_1$$

$$\theta_{12} < 2\delta \Leftrightarrow \xi^2 - \xi + \frac{1 - x_3}{x_3^2} \frac{1 - \sigma}{\sigma} < 0$$

ove $\sigma := \sin^2 \delta$

Per calcolare la $\sigma_{NLO}^{(2jet)} = \sigma_V^{(1)} + \sigma_R^{(2jet)} = \underbrace{\sigma_V + \sigma_R^{(tot)}}_{\sigma_{NLO}^{(tot)}} - \sigma_R^{(3jet)}$

è sufficiente sottrarre la $\sigma_R^{(3jet)}$

alla $\sigma_{NLO}^{(tot)} = \sigma_{LO} \frac{\alpha_s C_F}{\pi} \cdot \frac{3}{4}$

Poiché l'integrazione sullo spazio delle fasi della $\sigma_R^{(3jet)}$ non tocca le regioni singolari IR, il calcolo può essere effettuato in $D=4$ (non necessita regolarizzare IR):

$$\sigma_R^{(3jet)} = \sigma_{LO} \frac{\alpha_s C_F}{2\pi} K_3(\delta, \epsilon) \quad \hookrightarrow \int \frac{dx_3}{x_3} \int \frac{d\xi}{\xi(1-\xi)} [2 - 4x_3(1-\xi) + 2x_3^2(1-\xi)^2]$$

La regione a 3 jet è un po' complicata per il calcolo analitico. Visto che per $e^+e^- \rightarrow q\bar{q}g$ le zone con

$x_1=0, x_2=0, \theta_{12}=0$ non sono singolari, possiamo non richiedere $x_1 > \epsilon, x_2 > \epsilon, \theta_{12} > 2\delta$. Questo approssima le zone introduce delle differenze relative $O(\epsilon)$ e $O(\delta)$ a σ_{NLO} .

In questo modo la regione a 3 jet è limitata dalle

condizioni: $\epsilon < x_3 < 1$; $\xi_1 < \xi < \xi_2 \rightarrow$ dipendono da x_3

$$K_3 = 2 \int_{\epsilon}^1 \frac{dx_3}{x_3} \int_{\xi_1}^{\xi_2} \frac{d\xi}{\xi(1-\xi)} [1 - 2x_3(1-\xi) + 2x_3^2(1-\xi)^2] =: 2(i_0 + i_1 + i_2)$$

$$i_0 = \int_{\epsilon}^1 \frac{dx_3}{x_3} \int_{\xi_1}^{\xi_2} d\xi \left(\frac{1}{\xi} + \frac{1}{1-\xi} \right) = \int_{\epsilon}^1 \frac{dx_3}{x_3} \left[\ln \frac{\xi_2}{\xi_1} - \ln \frac{1-\xi_2}{1-\xi_1} \right]$$

$$i_1 = -2 \int_{\epsilon}^1 dx_3 \int_{\xi_1}^{\xi_2} \frac{d\xi}{\xi} = -2 \int_{\epsilon}^1 dx_3 \ln \frac{\xi_2}{\xi_1}$$

$$i_2 = \int_{\varepsilon}^1 dx_3 x_3 \int_{\xi_1}^{\xi_2} d\xi \frac{1-\xi}{\xi} = \int_{\varepsilon}^1 dx_3 x_3 \left[\ln \frac{\xi_2}{\xi_1} + \xi_1 - \xi_2 \right] \quad [7]$$

Volgono: $\ln \frac{\xi_2}{\xi_1} = \ln \frac{1-\sigma}{\sigma} - \ln(1-x_3) = -\ln \frac{1-\xi_2}{1-\xi_1}$

$$\xi_1 - \xi_2 = \frac{-1+2\sigma-\sigma x_3}{1-\sigma x_3}$$

$$i_0 = 2 \left[\ln \frac{1-\sigma}{\sigma} \ln \frac{1}{\varepsilon} + \text{Li}_2(1) - \text{Li}_2(\varepsilon) \right] = 4 \ln \frac{1}{\sigma} \ln \frac{1}{\varepsilon} + \frac{\pi^2}{3} + O(\delta, \varepsilon)$$

$$i_1 = -2(1-\varepsilon) \left[\ln \frac{1-\sigma}{\sigma} + 1 - \ln(1-\varepsilon) \right] = -4 \ln \frac{1}{\sigma} - 2 + O(\delta, \varepsilon)$$

$$i_2 = \frac{1-\varepsilon}{2} \left[(1+\varepsilon) \ln \frac{1-\sigma}{\sigma} + \frac{3+\varepsilon}{2} - (1+\varepsilon) \ln(1-\varepsilon) \right] = \ln \frac{1}{\sigma} + \frac{1}{4} + O(\delta, \varepsilon)$$

$$\Rightarrow K_3 = 2 \left[4 \ln \frac{1}{\sigma} \ln \frac{1}{\varepsilon} - 3 \ln \frac{1}{\sigma} - \frac{7}{4} + \frac{\pi^2}{3} \right] + O(\delta, \varepsilon)$$

è ovviamente finito per $\delta > 0, \varepsilon > 0$
(verificare che $K_3(\varepsilon=1) = 0$)

e finita è anche

$$\sigma^{(2jet)} = \sigma_{LO} \left[1 + \frac{\alpha_s C_F}{2\pi} \left(\frac{3}{2} - K_3(\delta, \varepsilon) \right) \right]$$

$$\begin{aligned} \text{Li}_2(2) &= - \int_1^2 \frac{\ln(1-t)}{t} dt \\ &= \sum_{n=1}^{\infty} \frac{2^n}{n^2} \end{aligned}$$

$$\text{Li}_2(1) = \frac{\pi^2}{6}$$

DIALOGARITMO

Un osservabile usato per verificare la QCD e per misurare α_s è il rapporto tra eventi con diverso numero di jet:

$$\frac{\sigma^{(3jet)}}{\sigma^{(2jet)}} = \frac{\frac{\alpha_s C_F}{2\pi} K_3}{1 + \frac{\alpha_s C_F}{2\pi} \left(\frac{3}{2} - K_3 \right)} + O(\alpha_s^2)$$

che dipende dalla procedura adottata per definire i jet (in particolare dipende da δ e ε).

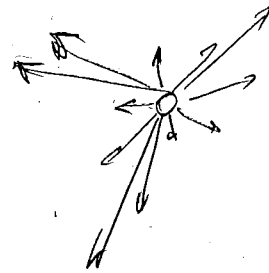
Per calcoli ad ordini superiori e per misure sperimentali con grande numero di particelle, definire i jet mediante coni è problematico, se si vuole mantenere la proprietà di finitezza IR. (8)

Il modo più moderno ed usato per definire i jet si basa su

ALGORITMI DI RAGGRUPPAMENTO (CLUSTERING)

Ci limitiamo per ora a processi senza adroni nello stato iniziale (reazioni e^+e^- principalmente).

Dato una configurazione di impulsi di particelle finali, vogliamo stabilire una procedura che determini quanti jet ci sono nell'evento, e quali particelle compongono i vari jet.



Il punto cruciale, che ha costituito il problema principale nell'evoluzione storica della fisica dei jet, riguarda il trattamento delle particelle soffici, se e come includerle nei jet.

La procedura più moderna e più utilizzata attualmente in fisica delle particelle consiste in un

ALGORITMO DI RICOMBINAZIONE SEQUENZIALE

e si basa sui seguenti ingredienti: